

Ein- und Ausgabe: Offset-Reflektiv-System ORS18a für relativen CIELAB-Bunton $h_{ab,a,rel} = h_{ab}/360 = 102/360 = 0.28$

$H^*_ = Y25G_$

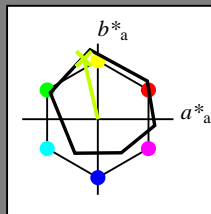
Daten für jede Geräte- (d) oder
 Elementarfarbe (e):

$HIC^*_$

Buntontext für die Farben
 dieser Seite:

$H^*_ = Y25G_$

Dreiecks-Helligkeit T^*



ORS18a; adaptierte CIELAB-Daten

Name	$L^*=L^*_a a^*_a$	b^*_a	$C^*_{ab,a}$	$h^*_{ab,a}$	
R _{-,Ma}	47.9	65.3	50.5	82.6	37
Y _{-,Ma}	90.3	-10.2	91.7	92.3	96
G _{-,Ma}	50.9	-62.8	34.9	71.9	150
C _{-,Ma}	58.6	-30.3	-45.0	54.2	236
B _{-,Ma}	25.7	31.0	-44.4	54.2	305
M _{-,Ma}	48.1	75.2	-8.3	75.7	353
N _{-,Ma}	18.0	0.0	0.0	0.0	0
W _{-,Ma}	95.4	0.0	0.0	0.0	0
R _{-,CIE}	39.9	58.7	27.9	65.0	25
Y _{-,CIE}	81.2	-2.8	71.5	71.6	92
G _{-,CIE}	52.2	-42.4	13.6	44.5	162
B _{-,CIE}	30.5	1.4	-46.4	46.4	271

Daten für Maximalfarbe (Ma):

$LabCh^*_{-,Ma}$: 83 -18 79 81 102

$HIC^*_{-,Ma}$: Y25G_100_100_

$rgbic^*_{-,Ma}$:

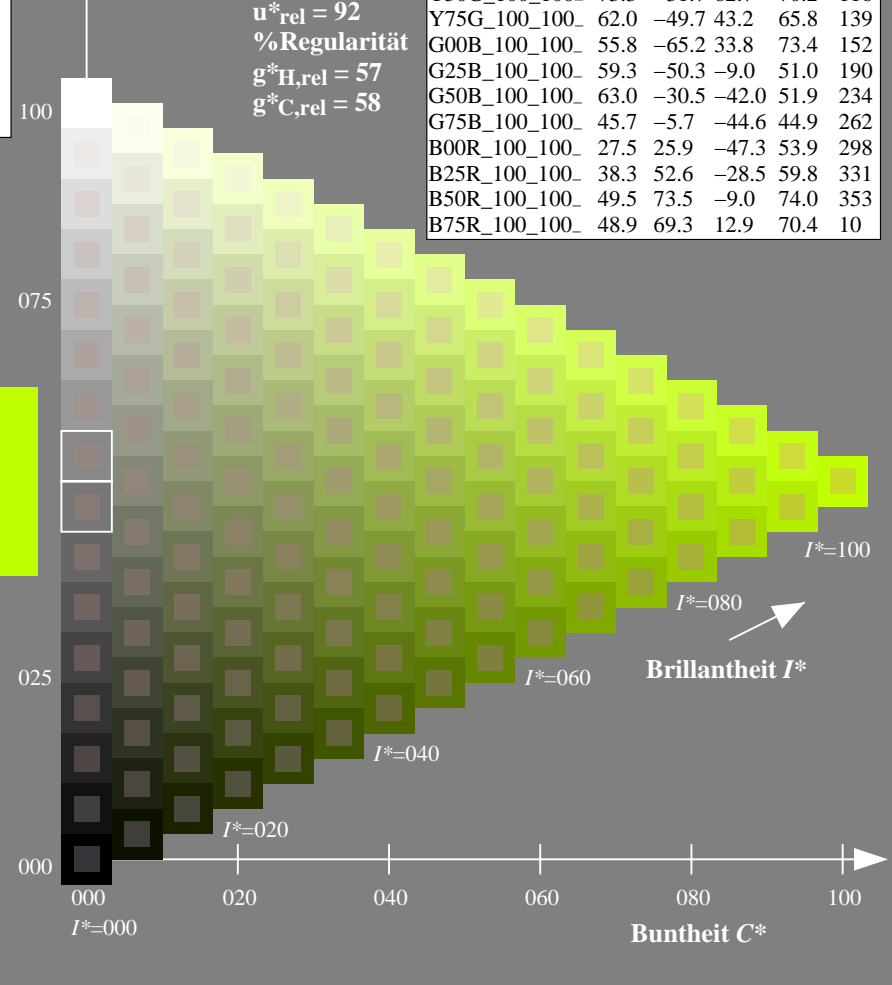
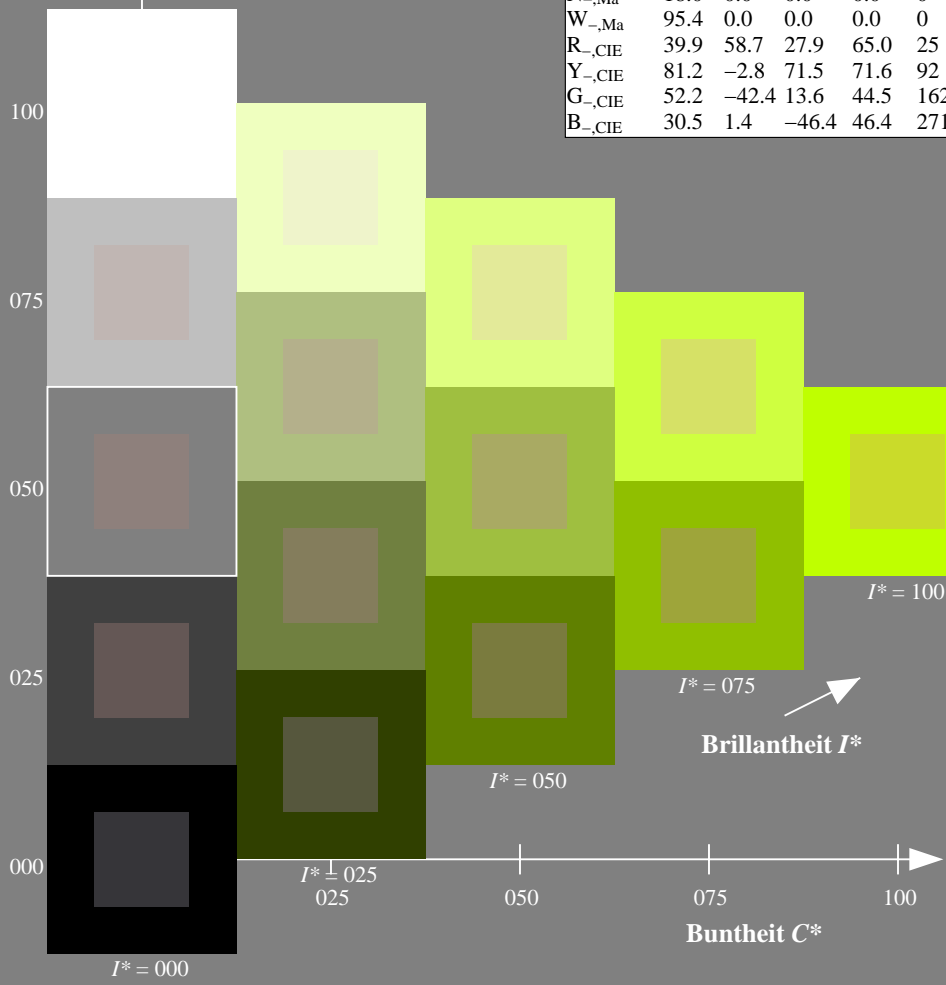
0.76 1.0 0.0 1.0 1.0

Dreiecks-Helligkeit T^*

%Umfang
 $u^*_{rel} = 92$
 %Regularität
 $g^*_{H,rel} = 57$
 $g^*_{C,rel} = 58$

ORS20a; adaptierte CIELAB-Daten

$H^*_$	$L^*=L^*_a a^*_a$	b^*_a	$C^*_{ab,a}$	$h^*_{ab,a}$	
R00Y_100_100_	48.4	66.1	40.2	77.3	31
R25Y_100_100_	56.8	48.0	50.5	69.6	46
R50Y_100_100_	68.6	25.0	63.9	68.6	68
R75Y_100_100_	80.6	4.8	77.2	77.3	86
Y00G_100_100_	90.2	-9.6	88.2	88.7	96
Y25G_100_100_	83.2	-18.4	79.9	81.9	102
Y50G_100_100_	73.3	-31.7	62.7	70.2	116
Y75G_100_100_	62.0	-49.7	43.2	65.8	139
G00B_100_100_	55.8	-65.2	33.8	73.4	152
G25B_100_100_	59.3	-50.3	-9.0	51.0	190
G50B_100_100_	63.0	-30.5	-42.0	51.9	234
G75B_100_100_	45.7	-5.7	-44.6	44.9	262
B00R_100_100_	27.5	25.9	-47.3	53.9	298
B25R_100_100_	38.3	52.6	-28.5	59.8	331
B50R_100_100_	49.5	73.5	-9.0	74.0	353
B75R_100_100_	48.9	69.3	12.9	70.4	10



Siehe ähnliche Dateien: <http://130.149.60.45/~farbmetrik/QG47/QG47L0FA.TXT> / .PS
 Technische Information: <http://www.ps.bam.de> oder <http://130.149.60.45/~farbmetrik>

TUB-Registrierung: 20130201-QG47/QG47L0FA.TXT / .PS
 Anwendung für Messung von Offsetdruck-Ausgabe

TUB-Material: Code=rh4ta

Ein- und Ausgabe: Offset-Reflektiv-System ORS18a für relativen CIELAB-Buntton $h_{ab,a,rel} = h_{ab}/360 = 101/360 = 0.28$

$H^*_d = Y25G_d$

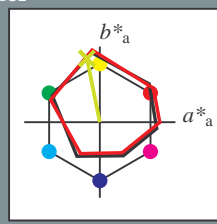
Daten für jede Geräte- (d) oder Elementarfarbe (e):

HIC^*_d

Bunttontext für die Farben dieser Seite:

$H^*_d = Y25G_d$

Dreiecks-Helligkeit T^*



ORS20a; adaptierte CIELAB-Daten

Name	$L^*=L^*_a a^*_a$	b^*_a	$C^*_{ab,a}$	$h^*_{ab,a}$
R _{d,Ma}	45.4	70.9	44.8	83.9
Y _{d,Ma}	87.8	-10.2	95.4	96.0
G _{d,Ma}	50.0	-65.0	29.6	71.4
C _{d,Ma}	56.8	-25.5	-41.5	48.7
B _{d,Ma}	25.0	29.5	-40.4	50.0
M _{d,Ma}	46.1	79.3	-0.2	79.3
N _{d,Ma}	24.3	0.0	0.0	0.0
W _{d,Ma}	95.6	0.0	0.0	0.0
R _{d,CIE}	39.9	58.7	27.9	65.0
Y _{d,CIE}	81.2	-2.8	71.5	71.6
G _{d,CIE}	52.2	-42.4	13.6	44.5
B _{d,CIE}	30.5	1.4	-46.4	46.4

Daten für Maximalfarbe (Ma):

$LabCh^*_{d,Ma}$: 81 -17 84 86 101

$HIC^*_{d,Ma}$: Y25G_100_100d

$rgbic^*_{d,Ma}$:

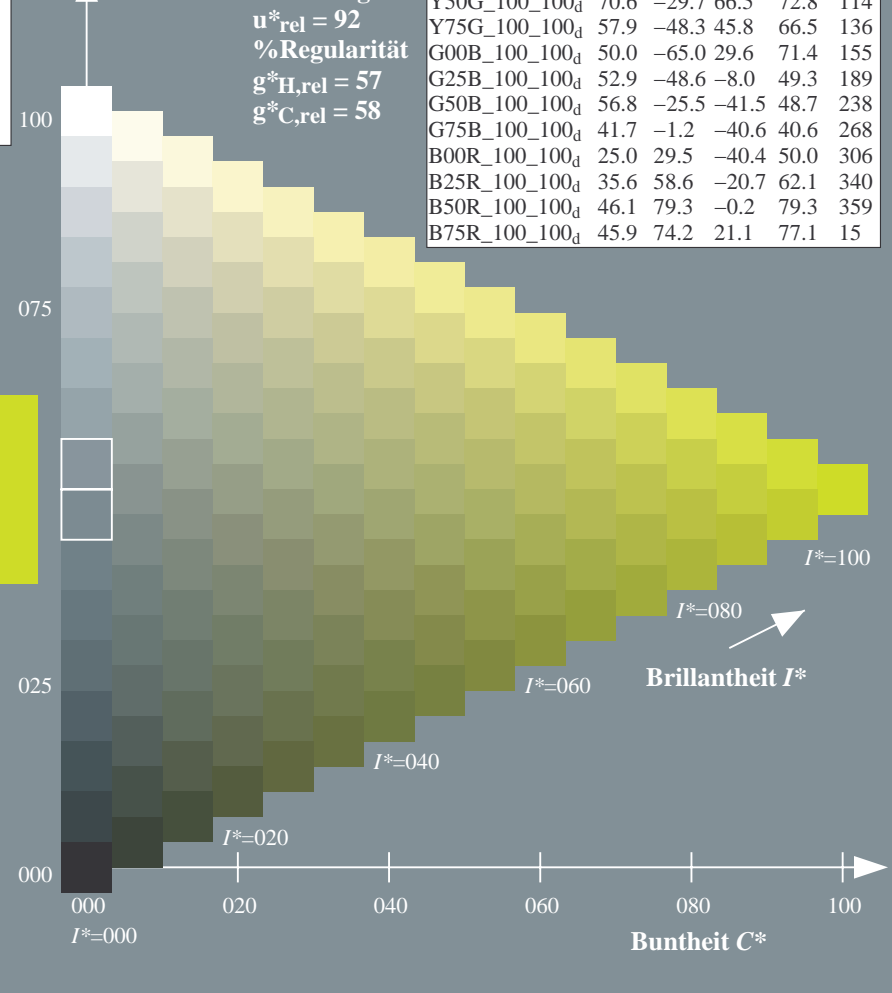
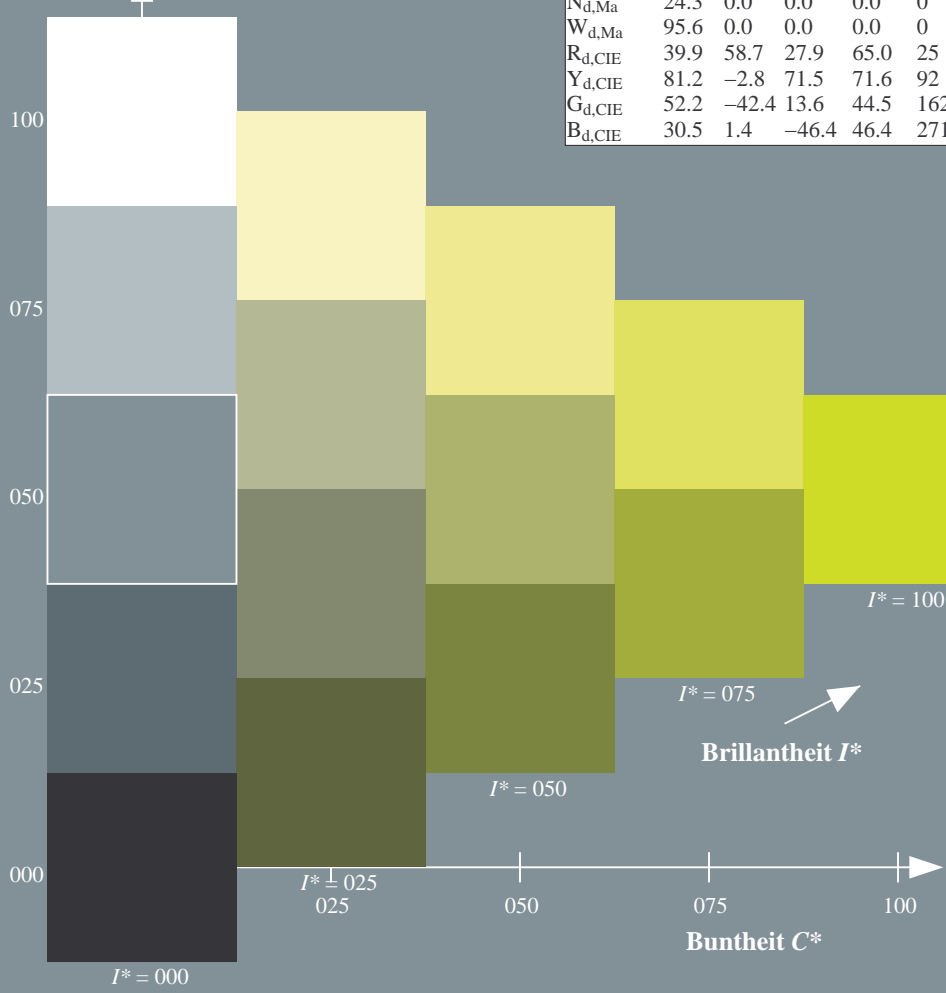
0.76 1.0 0.0 1.0 1.0

Dreiecks-Helligkeit T^*

%Umfang
 $u^*_{rel} = 92$
%Regularität
 $g^*_{H,rel} = 57$
 $g^*_{C,rel} = 58$

ORS20a; adaptierte CIELAB-Daten

H^*_d	$L^*=L^*_a a^*_a$	b^*_a	$C^*_{ab,a}$	$h^*_{ab,a}$
R00Y_100_100d	45.4	70.9	44.8	83.9
R25Y_100_100d	53.0	53.4	54.8	76.5
R50Y_100_100d	64.9	28.9	68.6	74.5
R75Y_100_100d	78.6	4.3	84.7	84.8
Y00G_100_100d	87.8	-10.2	95.4	96.0
Y25G_100_100d	81.2	-17.0	84.3	86.0
Y50G_100_100d	70.6	-29.7	66.5	72.8
Y75G_100_100d	57.9	-48.3	45.8	66.5
G00B_100_100d	50.0	-65.0	29.6	71.4
G25B_100_100d	52.9	-48.6	-8.0	49.3
G50B_100_100d	56.8	-25.5	-41.5	48.7
G75B_100_100d	41.7	-1.2	-40.6	40.6
B00R_100_100d	25.0	29.5	-40.4	50.0
B25R_100_100d	35.6	58.6	-20.7	62.1
B50R_100_100d	46.1	79.3	-0.2	79.3
B75R_100_100d	45.9	74.2	21.1	77.1



Siehe ähnliche Dateien: <http://130.149.60.45/~farbmetrik/QG47/QG47L0FA.TXT> / .PS
Technische Information: <http://www.ps.bam.de> oder <http://130.149.60.45/~farbmetrik>

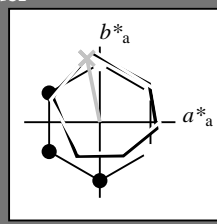
TUB-Registrierung: 20130201-QG47/QG47L0FA.TXT / .PS TUB-Material: Code=rh4ta
Anwendung für Messung von Offsetdruck-Ausgabe, Separation $cmY0^*$ (CMY0)

Ein- und Ausgabe: Offset-Reflektiv-System ORS18a für relativen CIELAB-Bunton $h_{ab,a,rel} = h_{ab}/360 = 101/360 = 0.28$

$H^*_d = Y25G_d$

Daten für jede Geräte- (d) oder Elementarfarbe (e):

HIC^*_d
Buntoncode für die Farben dieser Seite:
 $H^*_d = Y25G_d$
Dreiecks-Helligkeit T^*



ORS20a; adaptierte CIELAB-Daten

Name	$L^*=L^*_a$	a^*_a	b^*_a	$C^*_{ab,a}$	$h^*_{ab,a}$
R _{d, Ma}	45.4	70.9	44.8	83.9	32
Y _{d, Ma}	87.8	-10.2	95.4	96.0	96
G _{d, Ma}	50.0	-65.0	29.6	71.4	155
C _{d, Ma}	56.8	-25.5	-41.5	48.7	238
B _{d, Ma}	25.0	29.5	-40.4	50.0	306
M _{d, Ma}	46.1	79.3	-0.2	79.3	359
N _{d, Ma}	24.3	0.0	0.0	0.0	0
W _{d, Ma}	95.6	0.0	0.0	0.0	0
R _{d, CIE}	39.9	58.7	27.9	65.0	25
Y _{d, CIE}	81.2	-2.8	71.5	71.6	92
G _{d, CIE}	52.2	-42.4	13.6	44.5	162
B _{d, CIE}	30.5	1.4	-46.4	46.4	271

Daten für Maximalfarbe (Ma):

$LabCh^*_d, Ma$: 81 -17 84 86 101

HIC^*_d, Ma : Y25G_100_100d

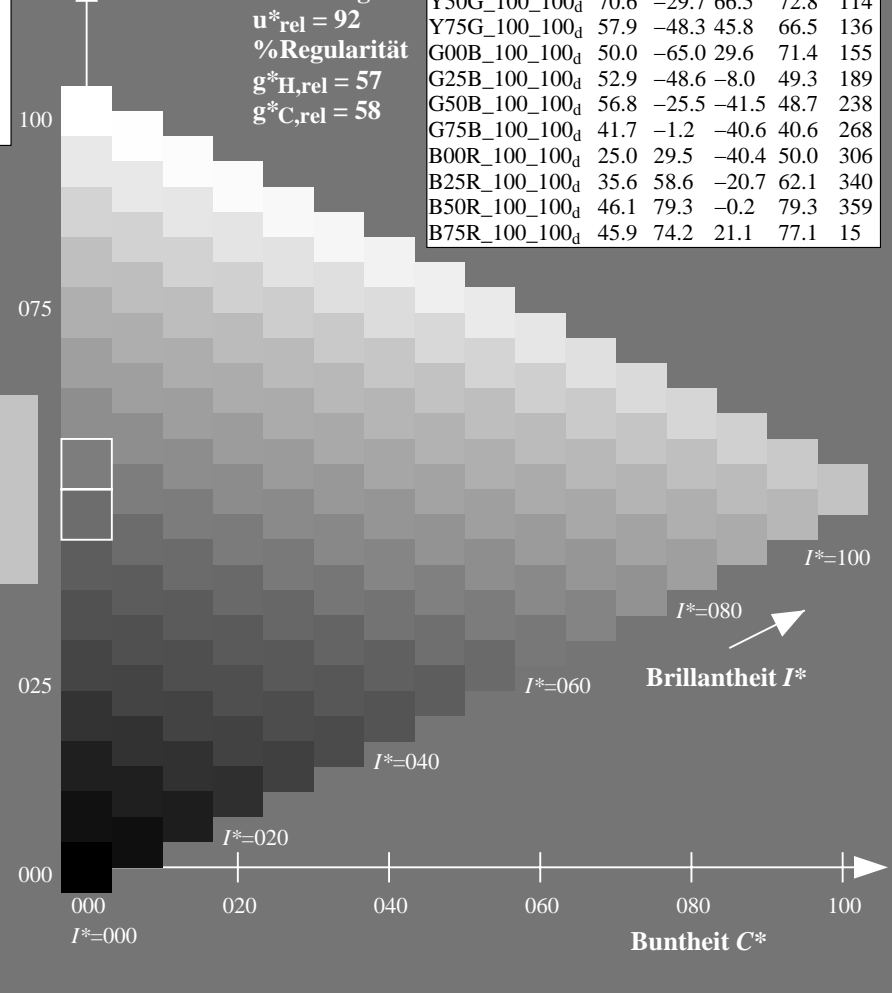
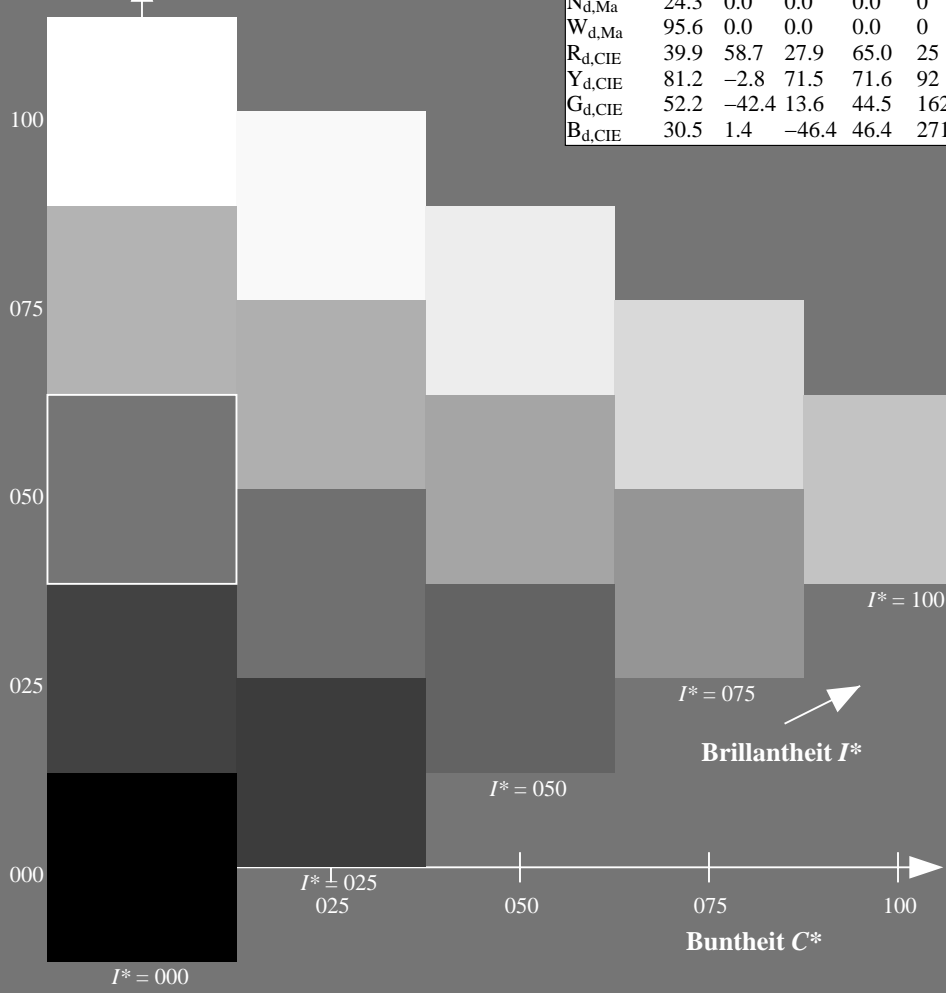
$rgbic^*_d, Ma$:
0.76 1.0 0.0 1.0 1.0

Dreiecks-Helligkeit T^*

%Umfang
 $u^*_{rel} = 92$
%Regularität
 $g^*_{H,rel} = 57$
 $g^*_{C,rel} = 58$

ORS20a; adaptierte CIELAB-Daten

H^*_d	$L^*=L^*_a$	a^*_a	b^*_a	$C^*_{ab,a}$	$h^*_{ab,a}$
R00Y_100_100d	45.4	70.9	44.8	83.9	32
R25Y_100_100d	53.0	53.4	54.8	76.5	45
R50Y_100_100d	64.9	28.9	68.6	74.5	67
R75Y_100_100d	78.6	4.3	84.7	84.8	87
Y00G_100_100d	87.8	-10.2	95.4	96.0	96
Y25G_100_100d	81.2	-17.0	84.3	86.0	101
Y50G_100_100d	70.6	-29.7	66.5	72.8	114
Y75G_100_100d	57.9	-48.3	45.8	66.5	136
G00B_100_100d	50.0	-65.0	29.6	71.4	155
G25B_100_100d	52.9	-48.6	-8.0	49.3	189
G50B_100_100d	56.8	-25.5	-41.5	48.7	238
G75B_100_100d	41.7	-1.2	-40.6	40.6	268
B00R_100_100d	25.0	29.5	-40.4	50.0	306
B25R_100_100d	35.6	58.6	-20.7	62.1	340
B50R_100_100d	46.1	79.3	-0.2	79.3	359
B75R_100_100d	45.9	74.2	21.1	77.1	15



Siehe ähnliche Dateien: <http://130.149.60.45/~farbmetrik/QG47/QG47L0FA.TXT> /PS
Technische Information: <http://www.ps.bam.de> oder <http://130.149.60.45/~farbmetrik>

TUB-Registrierung: 20130201-QG47/QG47L0FA.TXT /PS
Anwendung für Messung von Offsetdruck-Ausgabe, Separation $cmY0^*$ (CMY0)
TUB-Material: Code=rh4ta

Ein- und Ausgabe: Offset-Reflektiv-System ORS18a für relativen CIELAB-Buntton $h_{ab,a,rel} = h_{ab}/360 = 101/360 = 0.28$

$H^*_d = Y25G_d$

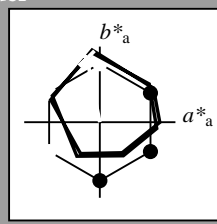
Daten für jede Geräte- (d) oder Elementarfarbe (e):

HIC^*_d

Bunttontext für die Farben dieser Seite:

$H^*_d = Y25G_d$

Dreiecks-Helligkeit T^*



ORS20a; adaptierte CIELAB-Daten

Name	$L^*=L^*_a$	a^*_a	b^*_a	$C^*_{ab,a}$	$h^*_{ab,a}$
R _{d, Ma}	45.4	70.9	44.8	83.9	32
Y _{d, Ma}	87.8	-10.2	95.4	96.0	96
G _{d, Ma}	50.0	-65.0	29.6	71.4	155
C _{d, Ma}	56.8	-25.5	-41.5	48.7	238
B _{d, Ma}	25.0	29.5	-40.4	50.0	306
M _{d, Ma}	46.1	79.3	-0.2	79.3	359
N _{d, Ma}	24.3	0.0	0.0	0.0	0
W _{d, Ma}	95.6	0.0	0.0	0.0	0
R _{d, CIE}	39.9	58.7	27.9	65.0	25
Y _{d, CIE}	81.2	-2.8	71.5	71.6	92
G _{d, CIE}	52.2	-42.4	13.6	44.5	162
B _{d, CIE}	30.5	1.4	-46.4	46.4	271

Daten für Maximalfarbe (Ma):

LabCh^{*}_{d, Ma}: 81 -17 84 86 101

HIC^{*}_{d, Ma}: Y25G_100_100_d

rgbic^{*}_{d, Ma}:

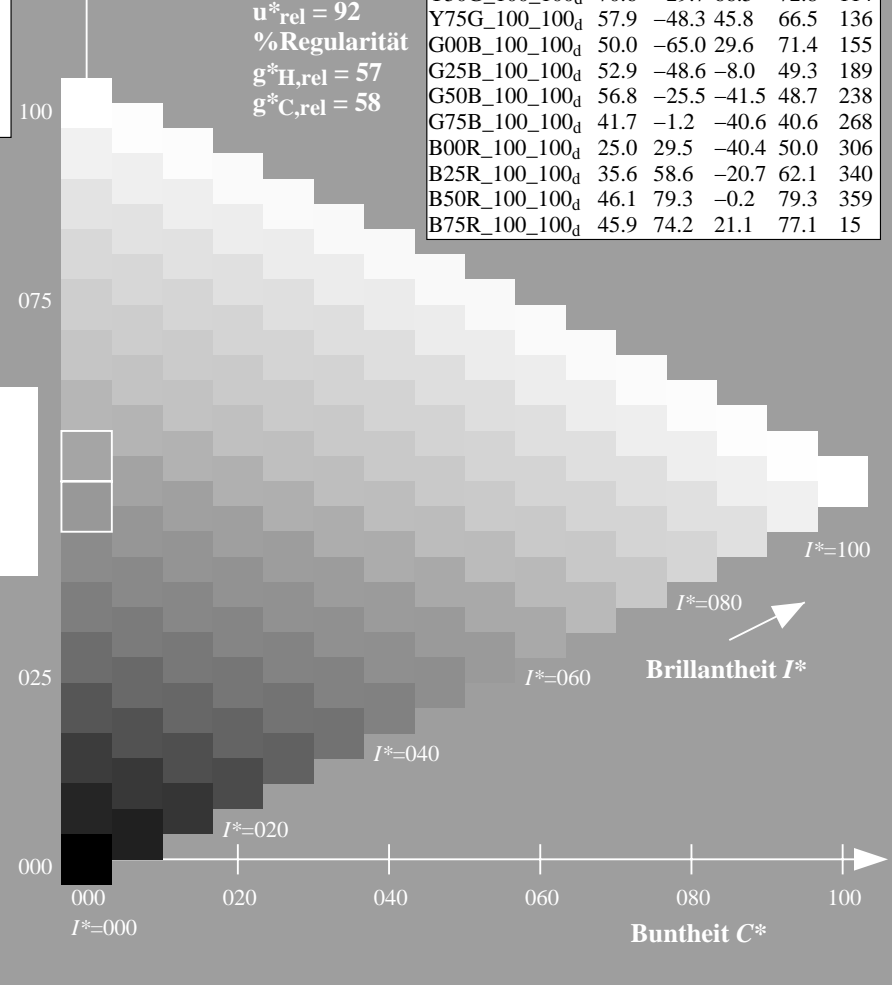
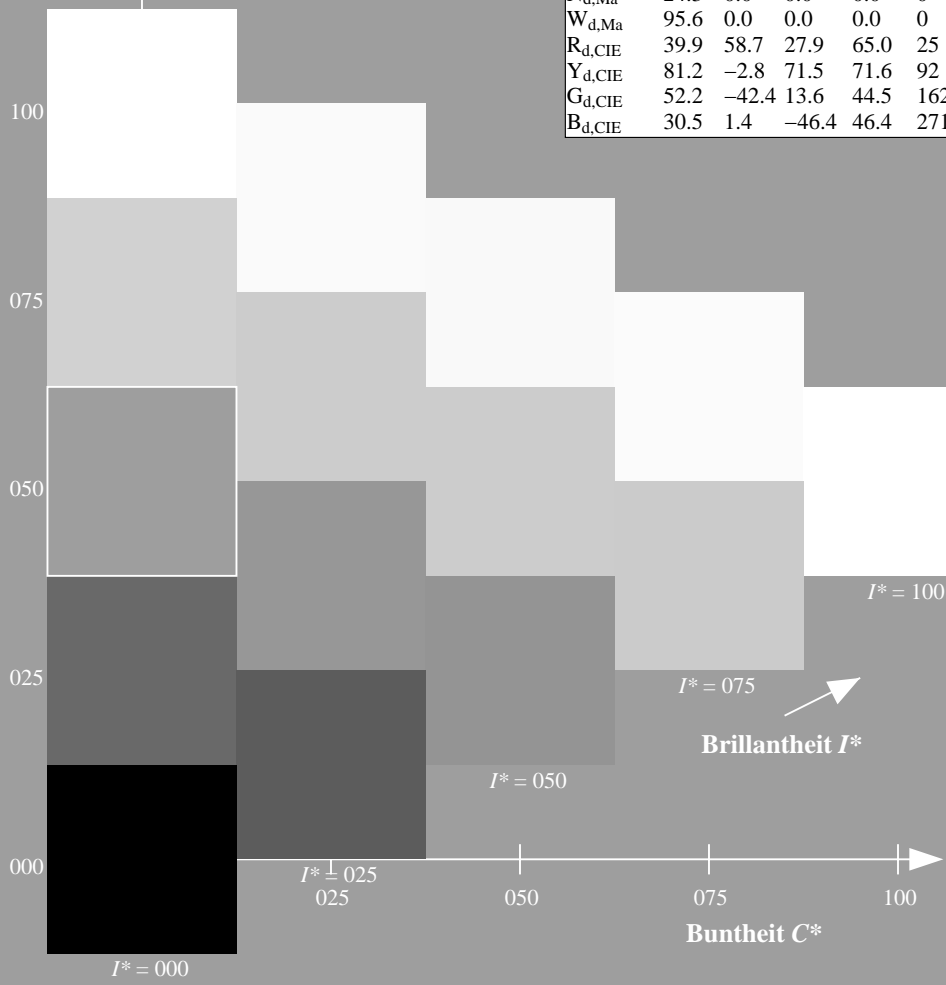
0.76 1.0 0.0 1.0 1.0

Dreiecks-Helligkeit T^*

%Umfang
 $u^*_{rel} = 92$
%Regularität
 $g^*_{H, rel} = 57$
 $g^*_{C, rel} = 58$

ORS20a; adaptierte CIELAB-Daten

H^*_d	$L^*=L^*_a$	a^*_a	b^*_a	$C^*_{ab,a}$	$h^*_{ab,a}$
R00Y_100_100 _d	45.4	70.9	44.8	83.9	32
R25Y_100_100 _d	53.0	53.4	54.8	76.5	45
R50Y_100_100 _d	64.9	28.9	68.6	74.5	67
R75Y_100_100 _d	78.6	4.3	84.7	84.8	87
Y00G_100_100 _d	87.8	-10.2	95.4	96.0	96
Y25G_100_100 _d	81.2	-17.0	84.3	86.0	101
Y50G_100_100 _d	70.6	-29.7	66.5	72.8	114
Y75G_100_100 _d	57.9	-48.3	45.8	66.5	136
G00B_100_100 _d	50.0	-65.0	29.6	71.4	155
G25B_100_100 _d	52.9	-48.6	-8.0	49.3	189
G50B_100_100 _d	56.8	-25.5	-41.5	48.7	238
G75B_100_100 _d	41.7	-1.2	-40.6	40.6	268
B00R_100_100 _d	25.0	29.5	-40.4	50.0	306
B25R_100_100 _d	35.6	58.6	-20.7	62.1	340
B50R_100_100 _d	46.1	79.3	-0.2	79.3	359
B75R_100_100 _d	45.9	74.2	21.1	77.1	15



Siehe ähnliche Dateien: <http://130.149.60.45/~farbmetrik/QG47/QG47L0FA.TXT> /PS
Technische Information: <http://www.ps.bam.de> oder <http://130.149.60.45/~farbmetrik>

TUB-Registrierung: 20130201-QG47/QG47L0FA.TXT /PS TUB-Material: Code=rh4ta
Anwendung für Messung von Offsetdruck-Ausgabe, Separation cmy0* (CMY0)

0-103331-L0 QG470-72

TUB-Prüfvorlage QG47; Bunttoncode: $H^*_d=Y25G_d$
Prüfvorlage nach DIN 33872, 3D=1, de=0, cmy0*

Eingabe: rgb/cmyk -> rgb_{dd}
Ausgabe: 3D-Linearisierung cmy0*_{dd}

0-103331-F0

Ein- und Ausgabe: Offset-Reflektiv-System ORS18a für relativen CIELAB-Buntton $h_{ab,a,rel} = h_{ab}/360 = 101/360 = 0.28$

$H^*_d = Y25G_d$

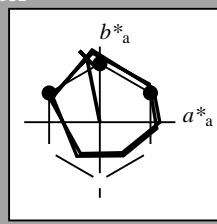
Daten für jede Geräte- (d) oder Elementarfarbe (e):

HIC^*_d

Bunttontext für die Farben dieser Seite:

$H^*_d = Y25G_d$

Dreiecks-Helligkeit T^*



ORS20a; adaptierte CIELAB-Daten

Name	$L^*=L^*_a$	a^*_a	b^*_a	$C^*_{ab,a}$	$h^*_{ab,a}$
R _{d, Ma}	45.4	70.9	44.8	83.9	32
Y _{d, Ma}	87.8	-10.2	95.4	96.0	96
G _{d, Ma}	50.0	-65.0	29.6	71.4	155
C _{d, Ma}	56.8	-25.5	-41.5	48.7	238
B _{d, Ma}	25.0	29.5	-40.4	50.0	306
M _{d, Ma}	46.1	79.3	-0.2	79.3	359
N _{d, Ma}	24.3	0.0	0.0	0.0	0
W _{d, Ma}	95.6	0.0	0.0	0.0	0
R _{d, CIE}	39.9	58.7	27.9	65.0	25
Y _{d, CIE}	81.2	-2.8	71.5	71.6	92
G _{d, CIE}	52.2	-42.4	13.6	44.5	162
B _{d, CIE}	30.5	1.4	-46.4	46.4	271

Daten für Maximalfarbe (Ma):

$LabCh^*_d, Ma$: 81 -17 84 86 101

HIC^*_d, Ma : Y25G_100_100d

$rgbic^*_d, Ma$:

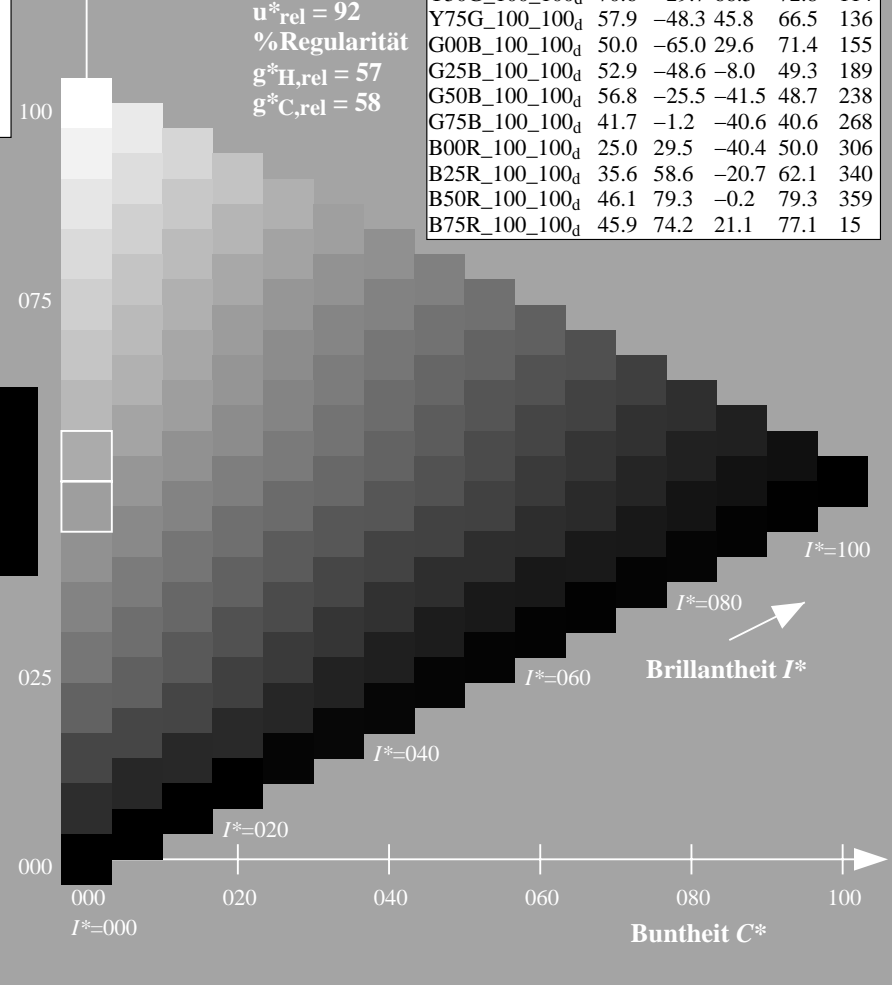
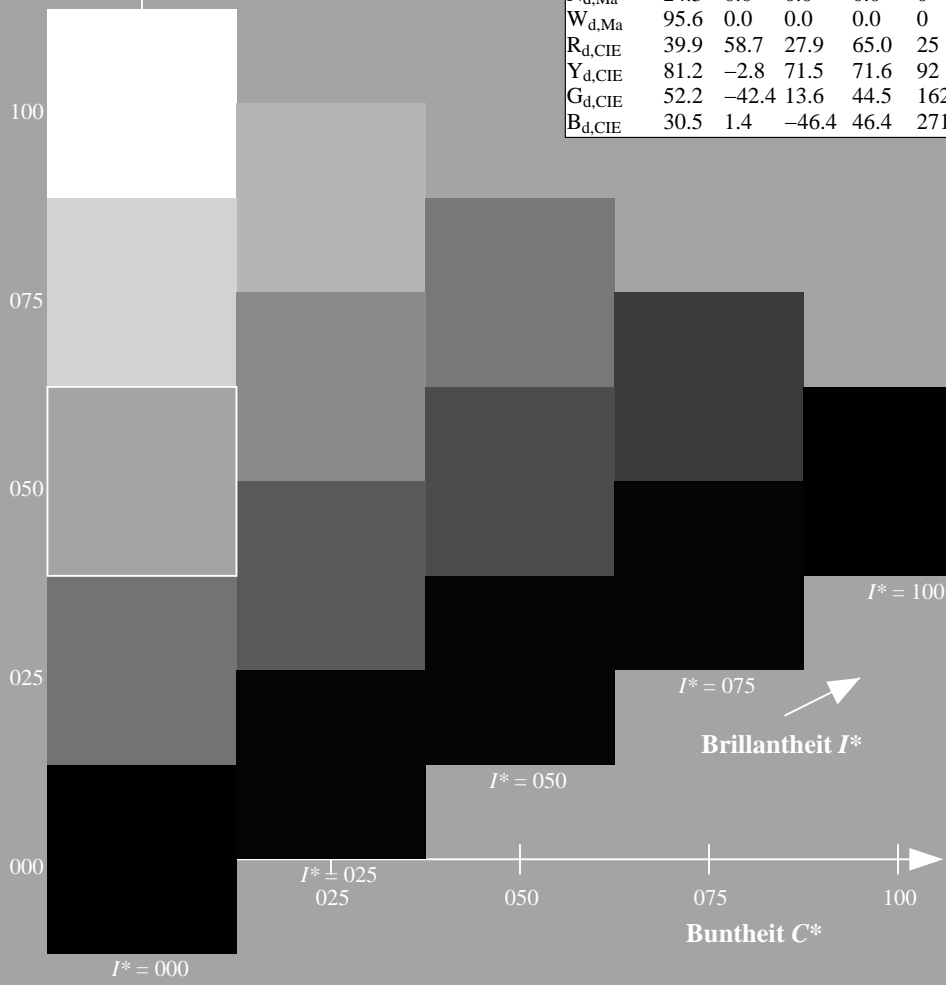
0.76 1.0 0.0 1.0 1.0

Dreiecks-Helligkeit T^*

ORS20a; adaptierte CIELAB-Daten

H^*_d	$L^*=L^*_a$	a^*_a	b^*_a	$C^*_{ab,a}$	$h^*_{ab,a}$
R00Y_100_100d	45.4	70.9	44.8	83.9	32
R25Y_100_100d	53.0	53.4	54.8	76.5	45
R50Y_100_100d	64.9	28.9	68.6	74.5	67
R75Y_100_100d	78.6	4.3	84.7	84.8	87
Y00G_100_100d	87.8	-10.2	95.4	96.0	96
Y25G_100_100d	81.2	-17.0	84.3	86.0	101
Y50G_100_100d	70.6	-29.7	66.5	72.8	114
Y75G_100_100d	57.9	-48.3	45.8	66.5	136
G00B_100_100d	50.0	-65.0	29.6	71.4	155
G25B_100_100d	52.9	-48.6	-8.0	49.3	189
G50B_100_100d	56.8	-25.5	-41.5	48.7	238
G75B_100_100d	41.7	-1.2	-40.6	40.6	268
B00R_100_100d	25.0	29.5	-40.4	50.0	306
B25R_100_100d	35.6	58.6	-20.7	62.1	340
B50R_100_100d	46.1	79.3	-0.2	79.3	359
B75R_100_100d	45.9	74.2	21.1	77.1	15

%Umfang
 $u^*_{rel} = 92$
%Regularität
 $g^*_{H,rel} = 57$
 $g^*_{C,rel} = 58$



Siehe ähnliche Dateien: <http://130.149.60.45/~farbmetrik/QG47/QG47L0FA.TXT> /PS
Technische Information: <http://www.ps.bam.de> oder <http://130.149.60.45/~farbmetrik>

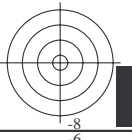
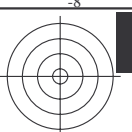
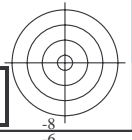
TUB-Registrierung: 20130201-QG47/QG47L0FA.TXT /PS
Anwendung für Messung von Offsetdruck-Ausgabe, Separation $cmY0^*$ (CMY0)
TUB-Material: Code=rh4ta

0-103431-L0 QG470-72

TUB-Prüfvorlage QG47; Bunttoncode: $H^*_d=Y25G_d$
Prüfvorlage nach DIN 33872, 3D=1, de=0, $cmY0^*$

Eingabe: $rgb/cmyk \rightarrow rgb_{dd}$
Ausgabe: 3D-Linearisierung $cmY0^*_{dd}$

0-103431-F0



Siehe ähnliche Dateien: <http://130.149.60.45/~farbmetrik/QG47/QG47.HTM>
Technische Information: <http://www.ps.bam.de> oder <http://130.149.60.45/~farbmetrik>

0-103531-L0 QG470-72

TUB-Prüfvorlage QG47; Bunttoncode: H*d=Y25Gd
Prüfvorlage nach DIN 33872, 3D=1, de=0, cmy0*

Eingabe: *rgb/cmyk* -> *rgb_{dd}*
Ausgabe: 3D-Linearisierung *cmy0*_{dd}*

0-103531-E0

Daten der Maximalfarbe M im Farbmetrik-System Offset-Normdruck; Separation cmy0*, D65 für Ein- oder Ausgabe; Sechs Bunttonwinkel der 60-Grad Standardfarben RYGBM_s: $h_{ab,ds} = 30.0, 90.0, 150.0, 210.0, 270.0, 330.0$;
 Sechs Bunttonwinkel der Gerätefarben RYGBM_d: $h_{ab,d} = 32.3, 96.1, 155.5, 238.4, 306.2, 359.8$; Sechs Bunttonwinkel der Elementarfarben RYGBM_e: $h_{ab,e} = 25.5, 92.3, 162.2, 217.0, 271.7, 328.6$

J=Y_d YellowGelb

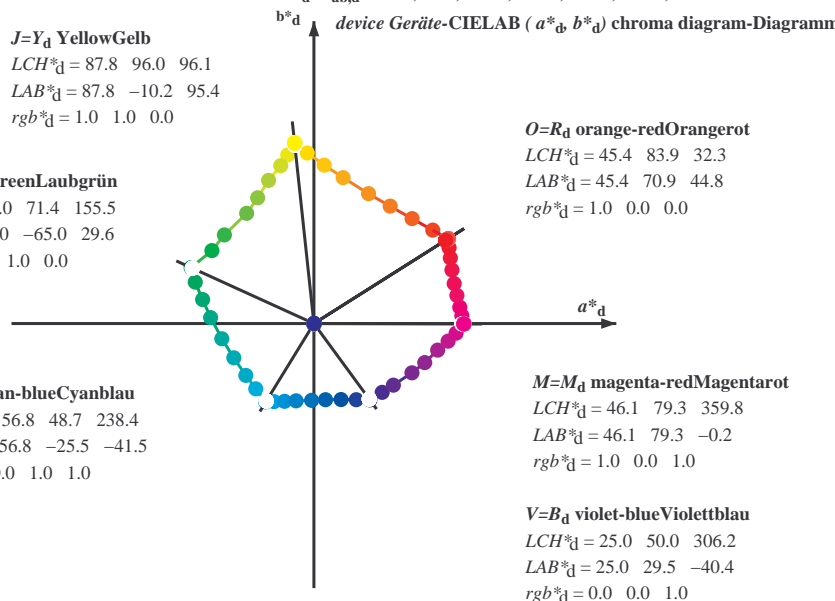
$LCH^*_d = 87.8 \ 96.0 \ 96.1$
 $LAB^*_d = 87.8 \ -10.2 \ 95.4$
 $rgb^*_d = 1.0 \ 1.0 \ 0.0$

L=G_d leaf-greenLaubgrün

$LCH^*_d = 50.0 \ 71.4 \ 155.5$
 $LAB^*_d = 50.0 \ -65.0 \ 29.6$
 $rgb^*_d = 0.0 \ 1.0 \ 0.0$

C=C_d cyan-blueCyanblau

$LCH^*_d = 56.8 \ 48.7 \ 238.4$
 $LAB^*_d = 56.8 \ -25.5 \ -41.5$
 $rgb^*_d = 0.0 \ 1.0 \ 1.0$



O=R_d orange-redOrangerot

$LCH^*_d = 45.4 \ 83.9 \ 32.3$
 $LAB^*_d = 45.4 \ 70.9 \ 44.8$
 $rgb^*_d = 1.0 \ 0.0 \ 0.0$

M=M_d magenta-redMagentarot

$LCH^*_d = 46.1 \ 79.3 \ 359.8$
 $LAB^*_d = 46.1 \ 79.3 \ -0.2$
 $rgb^*_d = 1.0 \ 0.0 \ 1.0$

V=B_d violet-blueViolettblau

$LCH^*_d = 25.0 \ 50.0 \ 306.2$
 $LAB^*_d = 25.0 \ 29.5 \ -40.4$
 $rgb^*_d = 0.0 \ 0.0 \ 1.0$

Y_e yellowGelb

$LCH^*_e = 83.6 \ 90.4 \ 92.3$
 $LAB^*_e = 83.6 \ -3.6 \ 90.4$
 $rgb^*_de = 1.0 \ 0.878 \ 0.0$

G_e greenGrün

$LCH^*_e = 50.6 \ 65.2 \ 162.2$
 $LAB^*_e = 50.6 \ -62.1 \ 19.9$
 $rgb^*_de = 0.0 \ 1.0 \ 0.151$

C_e blue-greenBlaugrün

$LCH^*_e = 55.0 \ 45.3 \ 216.9$
 $LAB^*_e = 55.0 \ -36.2 \ -27.2$
 $rgb^*_de = 0.0 \ 1.0 \ 0.747$

B_e blueBlau

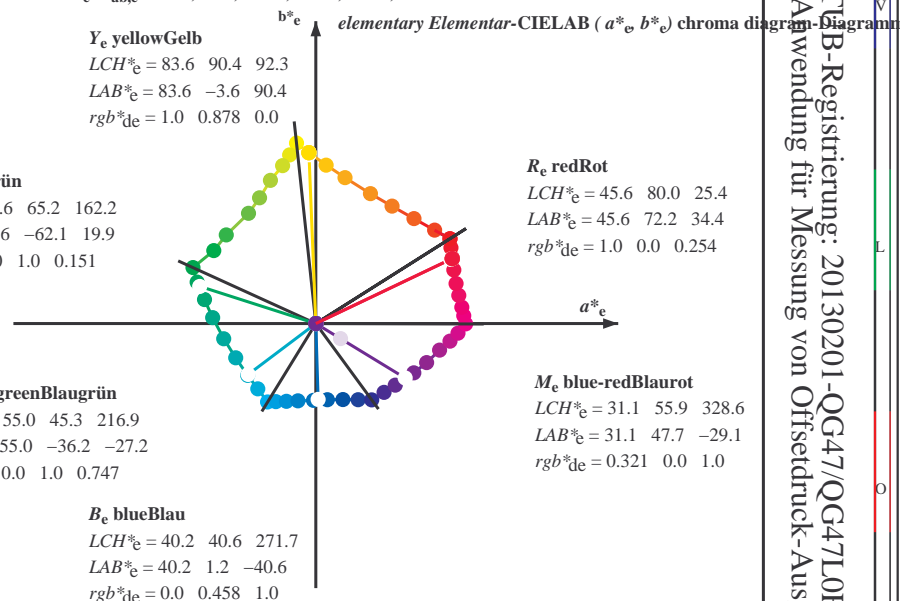
$LCH^*_e = 40.2 \ 40.6 \ 271.7$
 $LAB^*_e = 40.2 \ 1.2 \ -40.6$
 $rgb^*_de = 0.0 \ 0.458 \ 1.0$

R_e redRot

$LCH^*_e = 45.6 \ 80.0 \ 25.4$
 $LAB^*_e = 45.6 \ 72.2 \ 34.4$
 $rgb^*_de = 1.0 \ 0.0 \ 0.254$

M_e blue-redBlaurot

$LCH^*_e = 31.1 \ 55.9 \ 328.6$
 $LAB^*_e = 31.1 \ 47.7 \ -29.1$
 $rgb^*_de = 0.321 \ 0.0 \ 1.0$



Y_s yellowGelb

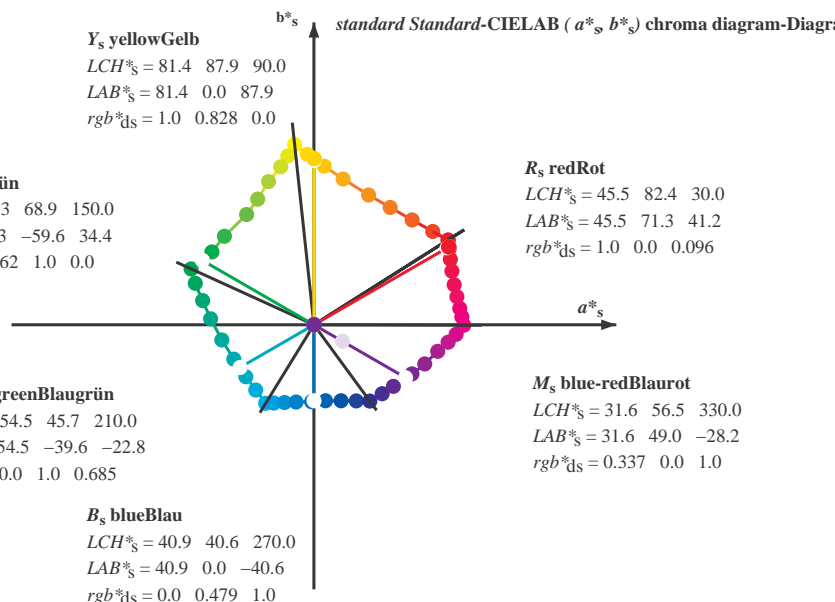
$LCH^*_s = 81.4 \ 87.9 \ 90.0$
 $LAB^*_s = 81.4 \ 0.0 \ 87.9$
 $rgb^*_ds = 1.0 \ 0.828 \ 0.0$

G_s greenGrün

$LCH^*_s = 52.3 \ 68.9 \ 150.0$
 $LAB^*_s = 52.3 \ -59.6 \ 34.4$
 $rgb^*_ds = 0.062 \ 1.0 \ 0.0$

C_s blue-greenBlaugrün

$LCH^*_s = 54.5 \ 45.7 \ 210.0$
 $LAB^*_s = 54.5 \ -39.6 \ -22.8$
 $rgb^*_ds = 0.0 \ 1.0 \ 0.685$



R_s redRot

$LCH^*_s = 45.5 \ 82.4 \ 30.0$
 $LAB^*_s = 45.5 \ 71.3 \ 41.2$
 $rgb^*_ds = 1.0 \ 0.0 \ 0.096$

M_s blue-redBlaurot

$LCH^*_s = 31.6 \ 56.5 \ 330.0$
 $LAB^*_s = 31.6 \ 49.0 \ -28.2$
 $rgb^*_ds = 0.337 \ 0.0 \ 1.0$

B_s blueBlau

$LCH^*_s = 40.9 \ 40.6 \ 270.0$
 $LAB^*_s = 40.9 \ 0.0 \ -40.6$
 $rgb^*_ds = 0.0 \ 0.479 \ 1.0$

Notes to the CIELAB chroma diagrams Anmerkung zu den CIELAB-Buntheits-Diagrammen (a^*_d, b^*_d), (a^*_s, b^*_s), (a^*_e, b^*_e)

- For the 1. Für die rgb^*_e -input values the CIELAB data-Eingabedaten wurden die CIELAB-Daten LCH^*_e und LAB^*_e have been calculated.
- For the calculation of the standard hue angle $h_{ab,s}$ use for any device values rgb^*_e the equation:

$$h_{ab,s} = \text{atan} [r^*_d \cos(30) + g^*_d \cos(150)] / [r^*_d \sin(30) + g^*_d \sin(150) + b^*_d \sin(270)] \quad (1)$$
- For the 48 or 360 equally spaced standard hue angles 3. Für die 48 oder 360 gleichabständig gestuften Standard-Buntonwinkel $h_{ab,s}$ of the color wheel use the seven hue angles of the 60 degree colours die sieben Bunttonwinkel der 60Grad-Farben s : $h_{ab,s} = 30.0, 90.0, 150.0, 210.0, 270.0, 330.0, 390.0$ and the equations for a 48 and 360 step hue circle: und die Gleichungen für einen 48- und 360-stufigen Buntonkreis:

$$h_{48ab,sij} = h_{ab,si} + j [h_{ab,si+1} - h_{ab,si}] / 8 \quad (i = 0, 1, \dots, 5; j = 0, 1, \dots, 7) \quad (2)$$

$$h_{360ab,sij} = h_{ab,si} + j [h_{ab,si+1} - h_{ab,si}] / 60 \quad (i = 0, 1, \dots, 5; j = 0, 1, \dots, 59) \quad (3)$$
- For the 48 or 360 elementary hue angles 4. Für die 48 oder 360 Elementar-Buntonwinkel $h_{ab,e}$ of the colours of maximum chroma die Farben der Farbkreis die sieben Bunttonwinkel der Elementarfarben e : $h_{ab,e} = 25.5, 92.3, 162.2, 217.0, 271.7, 328.6$ and the equations for a 48 and 360 step elementary hue circle: und die Gleichungen für einen 48- und 360-stufigen Elementar-Buntonkreis:

$$h_{48ab,eij} = h_{ab,ei} + j [h_{ab,ei+1} - h_{ab,ei}] / 8 \quad (i = 0, 1, \dots, 5; j = 0, 1, \dots, 7) \quad (4)$$

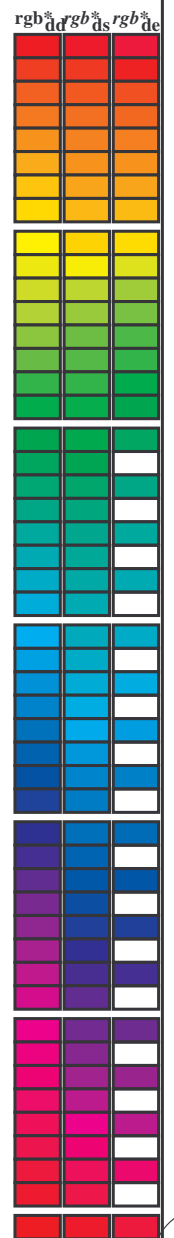
$$h_{360ab,eij} = h_{ab,ei} + j [h_{ab,ei+1} - h_{ab,ei}] / 60 \quad (i = 0, 1, \dots, 5; j = 0, 1, \dots, 59) \quad (5)$$
- For any elementary hue angle 5. Für jeden Elementar-Buntonwinkel $h_{ab,e}$ there is a well defined device hue angle $h_{ab,d}$ gib es einem genau definierten Bunttonwinkel $h_{ab,d}$ siehe die folgenden Tabellen, Spalten 1 bis 5 oder 1 bis 4.
- The values 6. Die Werte rgb^*_e produce the output of the device-independent elementary hues erzeugen die Ausgabe der geräteunabhängigen

Siehe ähnliche Dateien: <http://130.149.60.45/~farbmetrik/QG47/QG47L0FA.TXT> / PS
 Technische Information: <http://www.ps.bam.de> oder <http://130.149.60.45/~farbmetrik>

TUB-Registrierung: 20130201-QG47/QG47L0FA.TXT / PS
 Anwendung für Messung von Offsetdruck-Ausgabe, Separation cmy0* (C/M/Y)

Daten der Maximalfarbe M im Farbmetrik-System Offset-Normdruck; Separation cmy0*, D65 für Ein- oder Ausgabe; Sechs Bunttonwinkel der 60-Grad Standardfarben RYGBM_c; h_{ab,ds} = 30.0, 90.0, 150.0, 210.0, 270.0, 330.0; Sechs Bunttonwinkel der Gerätefarben RYGBM_d; h_{ab,d} = 32.3, 96.1, 155.5, 238.4, 306.2, 359.8; Sechs Bunttonwinkel der Elementarfarben RYGBM_e; h_{ab,e} = 25.5, 92.3, 162.2, 217.0, 271.7, 328.6

Table with 15 columns: h_{ab,d}, h_{ab,s}, h_{ab,e}, r_{gb}^{dd}, d_{64M}, LAB*_{ddx64M} (x=LabCh), r_{gb}^{dx361M}, LAB*_{dx361M} (x=LabCh), r_{gb}^{dsx361M}, LAB*_{dsx361M} (x=LabCh), r_{gb}^{ds361M}, LAB*_{ds361M} (x=LabCh), r_{gb}^{ds}, LAB*_{ds}, r_{gb}^{de}, LAB*_{de}. Rows contain numerical data for various color patches.

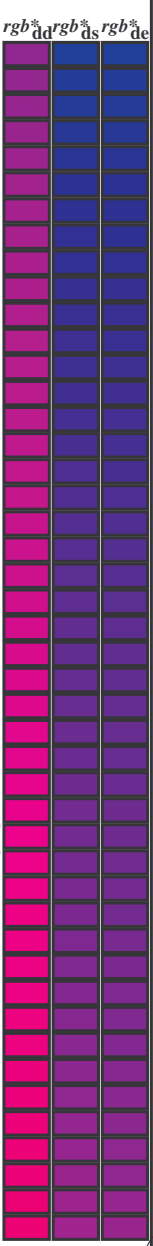


Siehe ähnliche Dateien: http://130.149.60.45/~farbmetrik/QG47/QG47L0FA.TXT /PS
Technische Information: http://www.ps.bam.de oder http://130.149.60.45/~farbmetrik

TUB-Registrierung: 20130201-QG47/QG47L0FA.TXT /PS
Anwendung für Messung von Offsetdruck-Ausgabe, Separation cmy0* (CMY0)
TUB-Material: Code=rh4ta

Daten der Maximalfarbe M im Farbmetrik-System Offset-Normdruck; Separation cmy0*, D65 für Ein- oder Ausgabe; Sechs-Buntonwinkel der 60-Grad Standardfarben RYGBM_c; h_{ab,ds} = 30.0, 90.0, 150.0, 210.0, 270.0, 330.0; Sechs Buntonwinkel der Gerätefarben RYGBM_d; h_{ab,d} = 32.3, 96.1, 155.5, 238.4, 306.2, 359.8; Sechs Buntonwinkel der Elementarfarben RYGBM_e; h_{ab,e} = 25.5, 92.3, 162.2, 217.0, 271.7, 328.6

Table with 30 columns: h_{ab,d}, h_{ab,s}, h_{ab,e}, r_{gb}*_dd361M, LAB*_ddx361Mi (x=LabCh), r_{gb}*_ds361Mi, LAB*_dsx361Mi (x=LabCh), r_{gb}*_dd361Mi, r_{gb}*_de361Mi, LAB*_dex361Mi (x=LabCh), r_{gb}*_dd361Mi. Rows 340-366.



Siehe ähnliche Dateien: http://130.149.60.45/~farbmetrik/QG47/QG47L0FA.TXT /PS
Technische Information: http://www.ps.bam.de oder http://130.149.60.45/~farbmetrik

TUB-Registrierung: 20130201-QG47/QG47L0FA.TXT /PS
Anwendung für Messung von Offsetdruck-Ausgabe, Separation cmy0* (CMY0)
TUB-Material: Code=rh4ta

Table with columns: nrf, HHC*Fid, rgb_Fid, icr_Fid, hsa_Fid, rgb*Fid, LabC*Fid, cmy0*_sep.Fid, hsa*Fid, rgb*Fid, LabC*Fid, delta. Rows contain numerical data for various color calibration points.

Table with 33 columns: n, HHC*Feld, rgb_Feld, icr_Feld, hsa_Feld, rgp_Feld, LabCH*Feld, cmyk*_sep_Feld, delta, Hsa_Mid, rgp*_Mid, LabCH*_Mid, and 32 columns of numerical data.

Eingabe: rgb/cmyk -> rgbd
Ausgabe: 3D-Linearisierung cmy0*.dd

TUB-Prüfvorlage QG47; Bunttoncode: H*d=Y25Gd
Farben und Farbabstände, ΔE*

QG470-7N; Seite 23/33-F

0-1032231-F0

TUB-Registrierung: 20130201-QG47/QG47L0FA.TXT / .PS TUB-Material: Code=rha4ta
Anwendung für Messung von Offsetdruck-Ausgabe, Separation cmy0* (CMY0)

Table with 40 columns: n, HHC*Feld, rgb_Feld, icr_Feld, hsa_Feld, rgpb_Feld, LabCM*Feld, cmyk*_sep,Feld, hsa_Mid, rgpb_Mid, LabCM*_Mid, delta. Contains 40 rows of color calibration data.

Eingabe: rgb/cmyk -> rgbd
Ausgabe: 3D-Linearisierung cmy0*.dd

TUB-Prüfvorlage QG47; Bunttoncode: H*d=Y25Gd
Farben und Farbabstände, ΔE*

QG470-7N; Seite 24/33-F

0-1032331-F0

0-1032331-F0

Table with 12 columns: n, HHC*Feld, rgb_Feld, icr_Feld, Hsa_Feld, rgpb_Feld, LabCMY*Feld, H*Feld, LabCMY*Feld, cmy0*_sep,Feld, Hsa_Mid, rgpb_Mid, LabCMY*Mid, delta. It contains a large grid of numerical data for color calibration.

Eingabe: rgb/cmyk -> rgbd
Ausgabe: 3D-Linearisierung cmy0*.dd

TUB-Prüfvorlage QG47; Bunttoncode: H*d=Y25Gd
Farben und Farbabstände, ΔE*

QG470-7N, Seite 25/33-4

O=1032431-F0

O=1032431-F0

http://130.149.60.45/~farbmetrik/QG47/QG47L0FA.TXT /.PS; 3D-Linearisierung

F: 3D-Linearisierung QG47/QG47LG30FA.DAT in Datei (F), Seite 27/33

Table with 24 columns: n, HHC*Feld, rgb_Feld, icr_Feld, hsa_Feld, rgb*Feld, LabC*Feld, cmy*sep.Feld, hsa*Feld, rgb*Feld, LabC*Feld, delta. It contains a large grid of numerical data for color calibration.

Siehe ähnliche Dateien: http://130.149.60.45/~farbmetrik/QG47/QG47L0FA.TXT / .PS; 3D-Linearisierung
Technische Information: http://www.ps.bam.de oder http://130.149.60.45/~farbmetrik

Eingabe: rgb/cmyk -> rgbdd
Ausgabe: 3D-Linearisierung cmy0*.dd

TUB-Prüfvorlage QG47; Bunttoncode: H*d=Y25Gd
Farben und Farbabstände, ΔE*_a

O-1032631-FU
QG470-7N, Seite 27/33-F

http://130.149.60.45/~farbmetrik/QG47/QG47L0FA.TXT /.PS; 3D-Linearisierung
F: 3D-Linearisierung QG47/QG47L0FA.DAT in Datei (F), Seite 29/33

Table with 15 columns: n, HHC*Fid, HHC*Fid, rpb_Fid, icr_Fid, rpb_Fid, Hs_Fid, rpb_Fid, LabCM*Fid, LabCM*Fid, cmy0*sep_Fid, cmy0*sep_Fid, rpb*Fid, rpb*Fid, LabCM*Fid. Contains numerical data for 809 rows.

Siehe ähnliche Dateien: http://130.149.60.45/~farbmetrik/QG47/QG47.HTM
Technische Information: http://www.ps.bam.de oder http://130.149.60.45/~farbmetrik

Eingabe: rgb/cmyk -> rgbdd
Ausgabe: 3D-Linearisierung cmy0*dd
delta

http://130.149.60.45/~farbmetrik/QG47/QG47L0FA.TXT /.PS; 3D-Linearisierung
F: 3D-Linearisierung QG47/QG47L0FA.DAT in Datei (F), Seite 30/33

Table with 18 columns: n, HHC*Fid, rpb_Fid, icr_Fid, hsa_Fid, rpb_Fid, LabCM*Fid, cmy0*_sep_Fid, cmy0*_sep_Fid, LabCM*Fid, hsa_Fid, rpb_Fid, LabCM*Fid, delta. Rows 810-890.

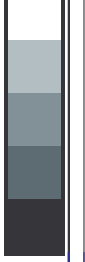
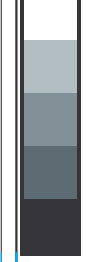
Eingabe: rgb/cmyk -> rgbd
Ausgabe: 3D-Linearisierung cmy0*.dd

TUB-Prüfvorlage QG47; Bunttoncode: H*d=Y25Gd
Farben und Farbabstände, ΔE*

QG4710L

http://130.149.60.45/~farbmetrik/QG47/QG47L0FA.TXT /.PS; 3D-Linearisierung
F: 3D-Linearisierung QG47/QG47LG30FA.DAT in Datei (F), Seite 32/33

Table with 15 columns: n, H#C*Fad, rgb_Fad, icr_Fad, Hsa_Fad, rgb*Fad, LabC*Fad, cmy*sep_Fad, Hsa_Std, rgb*Std, LabC*Std, delta. Contains 152 rows of calibration data for different color patches.



n	HC*Fid	rgb_Fid	icr_Fid	hsa_Fid	LabCIP*Fid	cmyk*_sep_Fid	0.099	0.0	Hsa_Lid	rgb*_Lid	LabCIP*_Lid	0.0	0.0
1053	NW_0860ad	0.866	0.866	0.866	0.866	0.866	0.173	0.108	0.099	0.0	0.0	0.0	0.0
1054	NW_0920ad	0.933	0.933	0.933	0.933	0.933	0.09	0.054	0.05	0.0	0.0	0.0	0.0
1055	NW_1000ad	1.0	1.0	1.0	1.0	1.0	0.0	0.0	0.0	0.0	0.0	0.0	0.0
1056	NW_0060ad	0.066	0.066	0.066	0.066	0.066	1.0	1.0	1.0	0.0	0.0	0.0	0.0
1057	NW_0130ad	0.133	0.133	0.133	0.133	0.133	0.935	0.855	0.825	0.0	0.0	0.0	0.0
1058	NW_0200ad	0.2	0.2	0.2	0.2	0.2	0.879	0.763	0.725	0.0	0.0	0.0	0.0
1059	NW_0260ad	0.266	0.266	0.266	0.266	0.266	0.799	0.661	0.614	0.0	0.0	0.0	0.0
1060	NW_0330ad	0.333	0.333	0.333	0.333	0.333	0.731	0.571	0.537	0.0	0.0	0.0	0.0
1061	NW_0400ad	0.4	0.4	0.4	0.4	0.4	0.682	0.507	0.485	0.0	0.0	0.0	0.0
1062	NW_0460ad	0.466	0.466	0.466	0.466	0.466	0.636	0.454	0.433	0.0	0.0	0.0	0.0
1063	NW_0530ad	0.533	0.533	0.533	0.533	0.533	0.574	0.404	0.381	0.0	0.0	0.0	0.0
1064	NW_0590ad	0.566	0.566	0.566	0.566	0.566	0.509	0.354	0.33	0.0	0.0	0.0	0.0
1065	NW_0660ad	0.6	0.6	0.6	0.6	0.6	0.442	0.285	0.278	0.0	0.0	0.0	0.0
1066	NW_0730ad	0.734	0.734	0.734	0.734	0.734	0.377	0.228	0.228	0.0	0.0	0.0	0.0
1067	NW_0800ad	0.8	0.8	0.8	0.8	0.8	0.314	0.191	0.186	0.0	0.0	0.0	0.0
1068	NW_0860ad	0.866	0.866	0.866	0.866	0.866	0.252	0.153	0.146	0.0	0.0	0.0	0.0
1069	NW_0920ad	0.933	0.933	0.933	0.933	0.933	0.173	0.108	0.099	0.0	0.0	0.0	0.0
1070	NW_1000ad	1.0	1.0	1.0	1.0	1.0	0.0	0.0	0.0	0.0	0.0	0.0	0.0
1071	NW_0060ad	0.0	0.0	0.0	0.0	0.0	1.0	1.0	1.0	0.0	0.0	0.0	0.0
1072	NW_0130ad	0.1	0.1	0.1	0.1	0.1	0.935	0.855	0.825	0.0	0.0	0.0	0.0
1073	NW_0200ad	0.2	0.2	0.2	0.2	0.2	0.879	0.763	0.725	0.0	0.0	0.0	0.0
1074	NW_0260ad	0.266	0.266	0.266	0.266	0.266	0.799	0.661	0.614	0.0	0.0	0.0	0.0
1075	NW_0330ad	0.333	0.333	0.333	0.333	0.333	0.731	0.571	0.537	0.0	0.0	0.0	0.0
1076	NW_0400ad	0.4	0.4	0.4	0.4	0.4	0.682	0.507	0.485	0.0	0.0	0.0	0.0
1077	NW_0460ad	0.466	0.466	0.466	0.466	0.466	0.636	0.454	0.433	0.0	0.0	0.0	0.0
1078	NW_0530ad	0.533	0.533	0.533	0.533	0.533	0.574	0.404	0.381	0.0	0.0	0.0	0.0
1079	NW_0590ad	0.566	0.566	0.566	0.566	0.566	0.509	0.354	0.33	0.0	0.0	0.0	0.0
1080	NW_0660ad	0.6	0.6	0.6	0.6	0.6	0.442	0.285	0.278	0.0	0.0	0.0	0.0
1081	NW_0730ad	0.734	0.734	0.734	0.734	0.734	0.377	0.228	0.228	0.0	0.0	0.0	0.0
1082	NW_0800ad	0.8	0.8	0.8	0.8	0.8	0.314	0.191	0.186	0.0	0.0	0.0	0.0
1083	NW_0860ad	0.866	0.866	0.866	0.866	0.866	0.252	0.153	0.146	0.0	0.0	0.0	0.0
1084	NW_0920ad	0.933	0.933	0.933	0.933	0.933	0.173	0.108	0.099	0.0	0.0	0.0	0.0
1085	NW_1000ad	1.0	1.0	1.0	1.0	1.0	0.0	0.0	0.0	0.0	0.0	0.0	0.0
1086	ROY_100_100ad	1.0	1.0	1.0	1.0	1.0	0.0	0.0	0.0	0.0	0.0	0.0	0.0
1087	ROY_100_100ad	1.0	1.0	1.0	1.0	1.0	0.0	0.0	0.0	0.0	0.0	0.0	0.0
1088	ROY_100_100ad	1.0	1.0	1.0	1.0	1.0	0.0	0.0	0.0	0.0	0.0	0.0	0.0
1089	ROY_100_100ad	1.0	1.0	1.0	1.0	1.0	0.0	0.0	0.0	0.0	0.0	0.0	0.0
1090	ROY_100_100ad	1.0	1.0	1.0	1.0	1.0	0.0	0.0	0.0	0.0	0.0	0.0	0.0
1091	ROY_100_100ad	1.0	1.0	1.0	1.0	1.0	0.0	0.0	0.0	0.0	0.0	0.0	0.0
1092	ROY_100_100ad	1.0	1.0	1.0	1.0	1.0	0.0	0.0	0.0	0.0	0.0	0.0	0.0
1093	ROY_100_100ad	1.0	1.0	1.0	1.0	1.0	0.0	0.0	0.0	0.0	0.0	0.0	0.0
1094	ROY_100_100ad	1.0	1.0	1.0	1.0	1.0	0.0	0.0	0.0	0.0	0.0	0.0	0.0
1095	ROY_100_100ad	1.0	1.0	1.0	1.0	1.0	0.0	0.0	0.0	0.0	0.0	0.0	0.0
1096	ROY_100_100ad	1.0	1.0	1.0	1.0	1.0	0.0	0.0	0.0	0.0	0.0	0.0	0.0
1097	ROY_100_100ad	1.0	1.0	1.0	1.0	1.0	0.0	0.0	0.0	0.0	0.0	0.0	0.0
1098	ROY_100_100ad	1.0	1.0	1.0	1.0	1.0	0.0	0.0	0.0	0.0	0.0	0.0	0.0
1099	ROY_100_100ad	1.0	1.0	1.0	1.0	1.0	0.0	0.0	0.0	0.0	0.0	0.0	0.0
1100	ROY_100_100ad	1.0	1.0	1.0	1.0	1.0	0.0	0.0	0.0	0.0	0.0	0.0	0.0

delta

